

电 容 器

下 册

(内 部 资 料)

成都电讯工程学院选编

北京科学教育出版社

1961.7

前　　言

解放以后，特别是近几年来，随着我国无线电电子学事业的飞跃发展，我国的无线电材料和元件工业迅速地建立了起来，并且它的规模还正在日益扩大。

由于这种原因，不但在我国从事无线电材料和元件的人员越来越多，而且还迫切地要求为这方面培养出一支强大的科学技术队伍。因此，编选一套有关这方面的教材，就成了目前一项需要迅速完成的重大任务。

根据这种形势和要求，组织了电容器教材的编选；并且为了首先满足今年下半年的教学需要，先编选了该教材的下册。计划在下册编选结束以后，就开始其上册的编选工作。

按电容器课程的教学时数分配，上下册教材的分量应当大致相等，因此，拟定在上册中包括电容器的一般性能、真空电容器、云母电容器、玻璃电容器和瓷介电容器，而在下册中包括纸介电容器、有机薄膜电容器、电解电容器、电容器的设计和计算以及电容器电气参数的测量。

由于编选人员的实际经验和理论知识的有限，再加上这次教材的编选时间较短，所以在下册内容中定会有很多缺点和错误，并且还会由于先编下册，后编上册的原因，在上下册的内容和图表方面难免出现一些重复。因此希望读者多多提出意见和批评，以使该教材在再版时，能有比较显著的改进和提高。

1961年5月15日

目 录

前 言

第六章 紙介电容器	1
§ 6 - 1 . 紙介电容器的特点	1
§ 6 - 2 . 制造紙介电容器所用的材料及其性能	2
§ 6 - 3 . 紙介电容器的制造工艺	11
§ 6 - 4 . 紙介电容器的型号及結構	27
§ 6 - 5 . 紙介电容器的特性及应用	35
§ 6 - 6 . 金属化紙介电容器的特点	36
§ 6 - 7 . 制造金属化紙介电容器的材料及其性能	37
§ 6 - 8 . 金属化紙介电容器的制造工艺	37
§ 6 - 9 . 金属化紙介电容器的型号及結構	42
§ 6 - 10 . 金属化紙介电容器的性能及应用	45
第七章 有机薄膜电容器	49
§ 7 - 1 . 聚苯乙烯电容器的特性	51
§ 7 - 2 . 制造聚苯乙烯电容器所用的材料及其性能	52
§ 7 - 3 . 聚苯乙烯电容器的制造工艺	53
§ 7 - 4 . 聚苯乙烯电容器的型号及結構	55
§ 7 - 5 . 聚苯乙烯电容器的性能及用途	58
§ 7 - 6 . 聚四氟乙烯电容器	60
§ 7 - 7 . 其他有机薄膜电容器	62
第八章 电解电容器	66
§ 8 - 1 . 电解电容器的一般性能	66
§ 8 - 2 . 电解电容器的結構类型	67

§8-3. 鋁電解電容器的製造.....	71
§8-4. 鋁氧化膜的結構和性能及鋁電解電容器的等效電路.....	91
§8-5. 鋁電解電容器的電氣性能.....	97
§8-6. 鉻電解電容器	102
§8-7. 鈦電解電容器	115
第九章 電容器的設計和計算	118
§9-1. 電容器設計和計算的依據	118
§9-2. 設計電容器的主要過程	119
§9-3. 電容器芯子的設計和計算	120
§9-4. 確定電容器的外部結構	143
§9-5. 計算電容器內各種材料的用量	146
§9-6. 計算電容器的比率體積和比率重量	147
§9-7. 電容器的熱計算	148
§9-8. 計算電容器的散熱系數	160
第十章 電容器電氣參數的測量	163
§10-1. 測量電容器的絕緣電阻	163
§10-2. 測量電容器的容量和損耗	168
§10-3. 測量電容器的電容量溫度系數	175
§10-4. 測量電容器的耐壓強度	177
主要參考文獻	182

第六章 紙介电容器

§ 6-1 紙介电容器的特点

紙介电容器是以电容器紙作为介質的一种电容器。实际上，作为电容器介質的不單是电容器紙，而是經過浸漬料（極性的或非極性的，有液体的，半液体的，也有固体的）浸漬以后的复合介質，这种复合介質称为浸漬紙。

紙介电容器的最大优点是作为电容器介質的电容器紙能制得很薄，并且可以捲繞成卷的帶条。这一点大大的优于用在电容器制造业上的无机介質材料。在現代能制成电容器紙的厚度从5~6至20~30微米，但是厚度大于12~15微米的紙現在已經很少采用了，厚度为5~6微米的紙，其机械强度还是很高的，最大拉伸强度能超过1000公斤/厘米²。电容器紙厚度的最低極限值，在不久的将来想必能成功地达到4微米，再要繼續減少想必可能性是不大了，因为断裂应力的限制就不能保証在电容器芯子捲繞时不断裂。同时，紙的厚度減小，紙价也激增，这是因为要使紙張極薄，必須增加打紙漿的时间，因此就增加了电能的消耗，紙的合格率也会大大降低。

至于用在电容器制造业上的无机介質的厚度其最小值远大于电容器紙。例如陶瓷的厚度一般只能做到200微米，即使在所有无机介質中厚度算是最小的云母片也不能低于20微米，而且这种材料产量少，价格貴，限制了电容器生产的發展。如上所述，由于电容器紙厚度很小，故在工作电压不高的条件下可以制成电器量大的而体积小的电容器，即它的比率电容量 $C_{y\Delta}$ 大或者說它的比率体积 $v_{y\Delta}$ 小。因为电容器的比率体积与介質厚度的平方成反比，所以如果在 ϵ 值相同的条件下，制造一个标称电容量 C_{nom} 相同的电容器，若以厚度为7微米的單層金属化紙来代替厚度为250微米的陶瓷介質，那么它的比率体积就減小到1/1300，如果与厚度为25微米的云母片介質比較，电容器的比率体积也減小1/13。因此，当 $\epsilon = 5 \sim 10$ 时，用固体无机介質就不能制得标称电容量大而尺寸适当的电容器，例如玻璃和普通陶瓷电容器的最大电容量 $C_{max} = 500 \sim 1000$ 微微法，而云母电容器的 $C_{max} \leq 0.1$ 微微法。但是紙介电容器的电容量很容易达1个微微法或10个微微法。因此，与无机介質电容器比較起来，紙介电容器的标称电容量范围显然較大。

初看起来，用有超高 ϵ 值的强性陶瓷介質制成的电容器，似乎有与紙介电容器相近的标称电容量。但是在实际生产中，要制造 C_{nom} 大于0.1微微法的强性瓷介电容器，已感十分困难。

所以，当要求标称电容量大的情况下。紙介电容器与无机介質电容器比較起来具有显著的优越性。

在工作电压相当大时，电容器的比率体积 $v_{y\Delta}$ 决定于工作电場强度 E_{pa5} 的容許值。 $v_{y\Delta}$ 的大小与 E_{pa5} 的平方成反比。所以在这种情况下，最关紧要的是介質的耐压强度。很薄的电容器紙的耐压强度又比无机介質高得多。即使在电極面积很大的情况下（以千平方厘米計），在

短时試驗中，其耐压强度也能达到約300千伏/毫米，比最优良的陶瓷介質高出10倍左右。无机介質中只有云母和玻璃在厚度很薄时，才有与此近似的耐压强度值。所以紙介电容器，即使在它的 ε 值不大的情况下，也能够获得很大的比率能量 w_{ud} 。因此，在高压和大电容量方面，紙介电容器也优于无机介質电容器。

因为电容器紙可以制成成卷的带条，所以就可以在捲繞机上进行电容器芯子的捲繞，便于在电容器制造过程中实现机械化和自动化。

到目前为止，紙介电容器仍然是电容器的主要类型。在頗大的程度上，这不仅决定于电容器紙有相当高的耐压强度和机械强度，而且由于它的价格相当低廉，因为现代的电容器紙是用木質纖維制成的，因此原料很不缺乏，而且价格又相当低廉。所以，在必要时，电容器紙的生产可以得到很迅速的扩大。目前我国已經能够制造电容器紙，而且已在电容器制造中应用。

紙介电容器与无机介質电容器比較起来也存在着严重的缺点。首先应当指出的是紙介电容器具有相当大的 $t_{g\delta}$ 值，所以它的应用范围只能局限于直流电路或低频（不超过几千赫）电路中。频率增高則 $t_{g\delta}$ 值显著加大，在无箝电頻率时，它的 $t_{g\delta} \cong 100 \sim 200 \cdot 10^{-4}$ 。

紙介电容器的化学稳定性很差，有严重的老化現象，这就使得紙介电容器的耐压强度随时间而逐漸降低。由此之故，紙介电容器的工作电場强度远小于其瞬时耐压强度。虽然如此，紙介电容器的 E_{pa5} 还是高于无机介質电容器。

大家知道，有机材料的热稳定性不如无机材料。所以，紙介电容器的工作溫度通常在 $85 \sim 100^{\circ}\text{C}$ 以下。在工作电場强度和电容量不大的条件下也只能达到 125°C 。

紙介电容器的另一个严重的缺点是电容量溫度系数大。

紙介电容器最后一个缺点是吸湿性很大，即使应用在平常的湿度下，一般也需要密封，这样非但增大了比率体积，而且增加了工艺的复杂性，因而大大的提高了电容器的成本。这种情况对于标称电容量小的电容器，表現得尤为突出。所以，通常較少地制造标称电容量小于0.001微法的紙介电容器。

§ 6—2 制造紙介电容器所用的材料及其性能

I. 制造紙介电容器极板所用的金属箔

A. 錫箔：用来制造紙介电容器的錫箔（更正確地說是加有錫的錫鉛合金箔。加入錫的作用是提高合金箔的压延能力和增大其机械强度）的厚度为7微米，其成分为：84~85%的錫，13~14%的錫，1~2%的鉛，抗張强度为 $5.5 \sim 6.5$ 公斤/毫米²，断裂时的伸長度为1.5~2%，比电阻不大于25微歐·厘米。

錫箔的优点是容易焊接，并且由于它本身很柔軟因而比較容易地与介質达到紧密貼合。錫箔在常溫下，在空气中氧化作用極为微弱；这是因为在它的表面上复盖着一層極薄的氧化層，起着保护作用。水对它沒有影响，稀酸对它的作用也很微弱。另外在直流电压下，錫箔对氯化物催化作用很小，也就是說它对氯化物浸漬的直流电容器是隋性的。錫箔的缺点是压延很大，在电容器的制造过程中受到压力后厚度就会变薄，面积增大，因而使电容器的电容量增大（平扁形电容器芯子），加大了电容器的容差。除此以外，錫箔的价格較高（与鋁箔

比較)，比電阻較大，導熱系數較小。

目前錫箔已很少用在紙介電容器製造中，最常用的是鋁箔。

B. 銅箔：在紙介電容器的生產中當要求極板的機械強度較大時就採用銅箔。這種箔大多用來製造電容量不大工作頻率較高的紙介電容器（通常在10匝以下，箔長小於100毫米）。除此以外，銅箔還用作普通捲綫式芯子的接觸片。這種銅箔的含銅量不應低於99.7%，其厚度通常在15~50微米的範圍內。

銅箔的優點是機械強度較大和比電阻 ρ 較小 [$\rho = 1.69$ 微歐·厘米 (20°C)]。由於它的比電阻 ρ 值相當小，因而就大大的降低了電容器在高頻時的損耗角正切 $\tan \delta$ 。因為銅是一種強烈的催化劑，在溫度較高的情況下，對碳氫化合物類的浸漬材料有著強烈的催化作用，所以用銅箔作極板或接觸片時需要用电鍍的方法在其表面上鍍一層錫或銀。當用銅箔作為極板時，由於它的硬度較大，因而為了保證極板和介質能很好的緊密貼合，需要在電容器芯子上加以較大的壓力。因為銅箔的邊緣上往往存在着毛刺，有可能戳穿介質而降低了電容器的耐壓強度，所以為了消除它的危害性，需要將薄條通過滾筒之間的軋輥以去掉毛刺。

用銅箔作極板時，即使在電容器芯子上加以很大的壓力，也不可能完全消除介質和極板之間的隙縫。在浸漬以後這些隙縫被浸漬料所填滿。因為浸漬料的介電常數 ϵ 大多比電容器介質的介電常數 ϵ 小，所以，隙縫的存在會使整個電容器的電容量降低。

由於被浸漬料所填滿的隙縫存在，使之在極板間出現層間極化，增大電容器的吸收系數，引起電容量在低頻範圍內就隨頻率的改變而顯著的變化。由於在溫度改變時，電容器的膨脹和收縮使隙縫的大小發生改變，所以會引起電容量的附加變化；如果隙縫大小的改變帶有殘余性質，則會引起電容量的不可逆變化。

B. 鋁箔：在現代電容器製造業上用來作為極板的主要金屬箔是鋁箔。鋁箔具有很小的比重（其密度為2.7公斤/厘米³，比銅箔輕3.5倍），不大的比電阻（ $\rho = 2.80$ 微歐·厘米）。鋁的比電阻比銅稍大，但比錫却小得多。除此以外，鋁箔的導熱系數較大，延展性能很好，容易制成很薄的箔片，價格很便宜。由於以上原因，現在紙介電容器製造業中都採用鋁箔，較少的採用銅箔和錫箔。鋁箔的缺點是難於焊接。但現在已經研究成功了焊接鋁箔的焊料，其配方如下：

- 1) 69%的錫，30.5%的鎘，0.3%的鋁和0.2%的銀。
- 2) 67.2%的錫，31.8%的鎘，0.64%的鎘和0.36%的鋁。
- 3) 65%的鎘，35%的鎘。
- 4) 63%的錫，37%的鎘。

對於用鋁箔捲繞的無感式芯子，其兩端鍍錫用的合金有如下的配方：61.6%的錫+35.2%的鎘+3.2%的鎘（熔化溫度為150~170°C）或者是57%的錫+20%的鎘+23%的鎘。芯子兩端鍍錫以後，可以採用通常的HOC-40焊料來進行引出線的焊接。

在選擇極板材料時，除考慮比電導和機械性能以外，還必須考慮它對電容器的浸漬料老化的影响。在直流電壓和較高的溫度作用下，鋁箔對氯化物浸漬材料的分解有強烈的催化作用，因而使紙介電容器的電導迅速增大和顯著地縮短了電容器的壽命（圖6-1）。對於非極性碳氫化合物浸漬的紙介電容器，鋁箔反而比錫鉛箔的催化作用較小（圖6-2）。這種現象可用鋁箔表面上存在着的一層天然氧化膜的保護作用來解釋。因為在交流電壓下，介質中的電解性老化過程很微弱，因而用鋁箔比用鉛錫箔好，用鋁箔做的電容器具有相當穩定的電氣性能和相當長的壽命，甚至對於用氯化物材料浸漬的紙介電容器也是如此（圖6-3）。

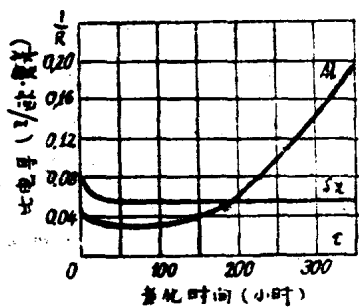


圖6-1 在直流电压和較高的溫度作用下，極板材料对氯化物浸漬的紙介电容器的电导与時間关系的影响
Al—鋁箔； Sn—鉛錫箔。

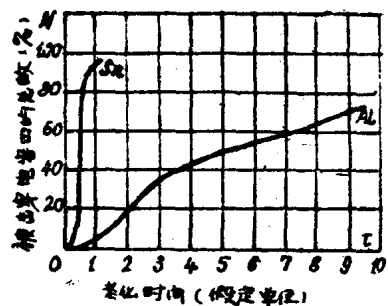


圖6-2 在直流电压和較高的溫度下，極板材料对电容器击穿数目的影响（电容器是用非極性碳氢化合物浸漬的紙介电容器）
Al—鋁箔； Sn—鉛錫箔。

在直流电压和較高的溫度下，用鋁箔做的紙介电容器的稳定性可以用在浸漬料中加0.25~0.5%的蔥醜的方法得到显著的提高。

用来制造紙介电容器的鋁箔含鋁量为：99.5~99.6%。鋁箔的厚度为7~8微米，当它的断裂时的伸長度不小于0.5%时，其最大拉伸强度应当不低于7.5公斤/毫米²，这种鋁箔称为剛性鋁箔。經退过火后的鋁箔，其断裂时的伸長度可达2%，但是它的抗張强度却被降低了。有些国家采用厚度为5~6微米的鋁箔来制造紙介电容器；但在苏联和我国则大多用这种鋁箔来制造小型化电容器。

必須指出，作为極板材料，銀是最好的。它具有小的比电阻和大的导热系数，但它的价格很貴，除在特殊的情况下很少采用。

II. 紙介电容器的浸漬材料

A. 浸漬料的分类：

在現代的电容器制造业中，用来浸漬紙介电容器的浸漬材料的种类很多，并且随着科学技術的迅速發展，各种新型的浸漬材料不断出現，所以紙介电容器的浸漬料的品种将还不断的增加。

对于名目繁多和性能各异的各种浸漬料，可按其物理状态和化学特性分类如下：

1) 按常温下的物理状态分：

a) 固体浸漬材料，

i) 蜡类浸漬材料，

(1) 非極性的：石蜡，純地蜡，合成石蜡，合成地蜡，

(2) 極性的：齒蜡，油蜡。

ii) 树脂类浸漬材料：虫胶，酚醛树脂，聚乙烯咔唑等。

b) 半液体浸漬材料：

i) 非極性的：凡士林，

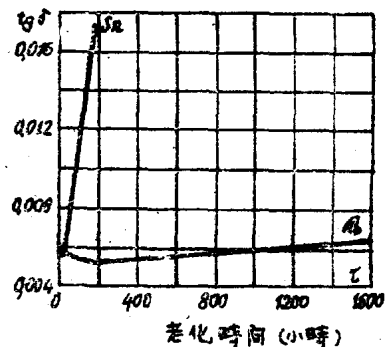


圖6-3 在交流电压和較高的溫度下，極板材料对氯化物浸漬的紙介电容器的損耗角正切与時間关系的影响
Al—鋁箔； Sn—鉛錫箔。

ii) 極性的：油——松香混合物。

B) 液体浸漬材料：

i) 非極性的：矿物油，硅油等；

ii) 極性的：苏伏油，蓖麻油等。

2) 按浸漬材料的化学成分分为：

a) 饱和碳氢化合物浸漬材料：矿物油，凡士林，石蜡，純地蜡，合成石蜡，合成地蜡等；

b) 氯化芳香族浸漬材料：卤蜡，苏伏油等；

b) 含有有机酸和醚的浸漬材料：油——松香混合材料，蓖麻油等；

c) 硅有机化合物浸漬材料；

d) 半导电性浸漬材料。

B. 浸漬材料的特性：

非極性浸漬材料的优点是具有較高比电阻和很小的損耗角正切，但是从电容器制造业的观点来看，这类材料的最大缺点是它們的介电常数較低(其值約在 $2.0\sim 2.5$ 之間)。根据电容器对浸漬料的介电常数的要求，極性材料較好，因为它們的介电常数大。在其他条件相同的情况下，用氯化物材料浸漬比用非極性材料浸漬的电容器，在电容量方面可增大 $25\sim 50\%$ 左右。这种材料的主要缺点是：有毒性，在高温时电气性能不够好，在低温时 ϵ 值有显著的下降，并且当用铝箔作极板时，用氯化物浸漬的紙介电容器在直流电压下化学性能不够稳定，氯化物材料發生分解。制造紙介电容器常用的各种浸漬材料的主要特性如表 6-1 所示：

表 6-1 制造紙介电容器常用的各種浸漬材料主要特性

名 称	密 度 克/厘米 ³	熔点或凝固点 $t^{\circ}\text{C}$	ϵ 1000赫和 20 $^{\circ}\text{C}$ 时	$tg\delta \cdot 10^4$ 1000赫和20 $^{\circ}\text{C}$ 时	ρ_r 1000赫时欧·厘米
电 容 器 油	0.86~0.89	-40~-45	2.1~2.2	1~2	$10^{13} \sim 3 \cdot 10^{13}$
粘 性 石 油	0.90~0.91	-5~-10	2.1~2.2	1~2	$10^{13} \sim 3 \cdot 10^{13}$
聚 异 丁 蜡	1.00~1.01	低于 -60	2.2~2.3	0.5~1	$3 \cdot 10^{14}$
卡路林-2(苏联 生产的一种硅油)	0.92~0.95	低于 -30	2.2~2.4	2~5	$3 \cdot 10^{13}$
凡 士 林	0.83~0.88	+30~-+40	2.1~2.2	2~3	$5 \cdot 10^{12}$
石 蜡	0.85~0.92	+50~-+55	2.1~2.2	3~7	$3 \cdot 10^{12}$
地 蜡	0.88~0.95	+65~-+80	2.2~2.5	3~5	$5 \cdot 10^{12}$
合 成 地 蜡	0.91~0.96	+100~-+105	2.4~2.6	3~5	$10^{12} \sim 10^{13}$
蓖 麻 油	0.95~0.97	-15~-+17	4.2~4.7	10~15	$2 \cdot 10^{10}$
三 铁 联 二 苯	1.35	-18	5.6	5~10	$10^{11} \sim 10^{12}$
五 氯 联 二 苯 (苏伏油)	1.54	+5~-+6	4.6	5~10	$3 \cdot 10^{11} \sim 3 \cdot 10^{12}$
64% 五 氯 联 二 苯, 36% 三 氯 联 二 苯	1.51	-35	4.3	5~10	$10^{11} \sim 10^{12}$
氯 化 脂 (PFE-772)	1.65	-35	6.1	2~5	$5 \cdot 10^{11} \sim 10^{12}$
多 氯 化 萘	1.5~1.6	+90~-+130	4.5~5.5	5~20	$10^{10} \sim 5 \cdot 10^{11}$
羊 毛 脂 苯 醇	—	+100	10~12	—	—
油 蜡	0.97~0.99	+75~-+80	10~20	700~1500	10^{12}
聚 乙 烯 味 哌	1.2	达 +150 单体 +60~-+70	3	7~10	10^{14}

III. 电容器纸

制造紙介电容器是用厚度極薄、密度很大和含无机杂质（灰分）極少的特种紙——电容器紙。电容器紙的厚度为5~6至20~30微米，但是厚度大于12~15微米的紙現在已經很少应用。在苏联和我国生产的电容器紙，按照密度分为两种規格：*KOH-1*（比重为1克/厘米³）和*KOH-2*（比重为1.2克/厘米³）。第一种紙用来制造交流电容器，第二种紙用来制造直流电容器。电容器紙的最大拉伸强度为1000~1200公斤/厘米²，未浸漬紙的耐压强度为30~35到45~50千伏/毫米（50赫），它的耐压强度随着密度的提高和厚度的減小而增大。品質优良的电容器紙具有極小的透气率（小于2~3厘米³/分鐘）和極低的灰分：0.2~0.3%，电容器紙中含銅和鐵的总量应当小于0.015%，其中的氯化物和硫酸盐的含量應該減少到最低限度，电容器紙中的水提取物反应应当有近于中性的弱碱性反应，这种提取物的比电导应当小于4·10⁻⁶/欧·厘米。电容器紙应当有極高的均匀度和極少的結構上的缺陷。

在以前認為：制造电容器紙必須用長而細的亚麻纖維，短而粗的木質纖維不适宜用来制造机械和电气性能甚高，而且厚度極薄的电容器紙。但是現在已經成功地掌握了用硫酸盐木質纖維来制造电容器紙。用这种纖維所制得的紙在机械和电气性能方面，都与用亚麻纖維制成的电容器紙有相同的指标，并且在耐热性能和抗老化性能方面还优于亚麻纖維紙。这样，应用木質纖維不但是提高了电容器紙的性能，而且更重要的是开辟了大量制造电容器紙的原料来源。

未浸漬的电容器紙在風干状态下，含有空气20~35%和水分5~7%，因此，为了提高紙介电容器的电气性能，在电容器芯子捲繞以后，必須进行干燥与浸漬，以除去其中的水分和空气。这样，浸漬紙就成了纖維層和浸漬料的复合介質。

纖維素的介电常數 $\epsilon_k \approx 6.5 \sim 7$ ；当溫度降低时， ϵ_k 值下降（因为纖維素分子的極化減弱）。当频率为50赫和溫度降低到-40~-50°C 以下时， ϵ_k 值开始显著地減小；当频率为1000赫和溫度为-100°C 时， ϵ_k 值可能減小到一半。若再提高频率，则在高于上述溫度下， ϵ_k 即将开始显著減小。当溫度在零度以上的范围内， ϵ_k 值随溫度的增大而几乎成直線性增長。

纖維素的損耗角正切 $\operatorname{tg} \delta_k$ 相当大，当频率为50赫和溫度为20°C 时， $\operatorname{tg} \delta_k \approx 60 \sim 70 \cdot 10^{-4}$ 。在工頻時， $\operatorname{tg} \delta_k$ 的最大值出現于低溫（約為-90°C）， $\operatorname{tg} \delta_{k \text{ max}} \approx 600 \sim 700 \cdot 10^{-4}$ 。当频率增高时， $\operatorname{tg} \delta_{k \text{ max}}$ 值向高溫方向移动。在射頻時，在0°C 以上， $\operatorname{tg} \delta_k$ 的数值即已相当大，因此就限制了紙介电容器在高頻范围内的应用。

对电容器紙的結構进行了詳細的研究以后，得出了这样的結論：电容器紙是由纖維素和空气隙交替串連构成的。因此，对它的电气性能就可采用串聯等效电路（圖 6-4）来进行分析。圖中 C_k 相应于纖維素層所形成的电容量， C_b 相应于空气層所形成的电容量。根据圖 6-4，經過不太复杂的运算就可得出未浸漬紙的介电常數公式如下：

$$\epsilon = \frac{\epsilon_k C_b}{(1-x)C_b + x\epsilon_k} = \frac{\epsilon_k}{1-x+x\frac{\epsilon_k}{\epsilon_b}} \quad (6-1)$$

式中：x——空气隙所占的体积比例；(1-x)——纖維素所占的体积比例； ϵ_k ——纖維素的介电常数； ϵ_b ——空气的介电常数。

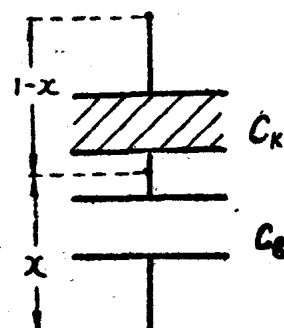


圖 6-4 未浸漬电容器紙等效电路圖

若以 γ 表示电容器纸的密度和 γ_k 表示纤维素的密度，即得出：

$$z = 1 - \frac{\gamma}{\gamma_k} \quad (6-2)$$

纤维素的密度： $\gamma_k \approx 1.55$ 克/厘米³。

因空气的 $\epsilon_b \approx 1$ ，并考虑到公式 (6-2)，则公式 (6-1) 可改写为：

$$\epsilon = \frac{\epsilon_k}{1+z(\epsilon_k-1)} = \frac{\epsilon_k}{\epsilon_k - \frac{\gamma}{\gamma_k}(\epsilon_k-1)} \quad (6-3)$$

从公式 (6-3) 中就可以清楚的看出，未浸渍的电容器纸的 ϵ 小于纤维素的 ϵ_k ，并且，电容器纸的 ϵ 随着它的密度 γ 的增大而增加。对于 KOH-I 纸： $z \approx 0.35$ 和 $\epsilon \approx 2.2$ ，而 KOH-II 纸： $z \approx 0.22$ 和 $\epsilon \approx 2.9$ 。因此，为了提高电容器纸的性能，须用高介电常数和绝缘强度的浸渍料来进行浸渍。由于浸渍料的性能和物理状态不同（有液体的也有固体的），浸渍后的电容器纸的性能也就各异。

电容器纸经液体浸渍材料浸渍以后，纸内的空气隙完全被液体浸渍料所填满。因此，浸渍纸的等效电路如图 6-5 所示。图中 C_n 相应于液体浸渍材料所形成的电容量。根据图 6-5 所示的等效电路可得出液体浸渍纸的介电常数的如下公式：

$$\epsilon = \frac{\epsilon_k \epsilon_{\pi}}{(1-z)\epsilon_{\pi} + z\epsilon_k} = \frac{\epsilon_k \epsilon_{\pi}}{\epsilon_k - \frac{\gamma}{\gamma_k}(\epsilon_k - \epsilon_{\pi})} \quad (6-4)$$

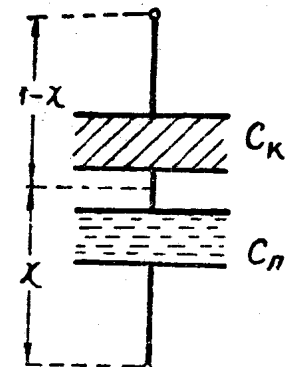


图 6-5 液体浸渍的电容器纸的等效电路图

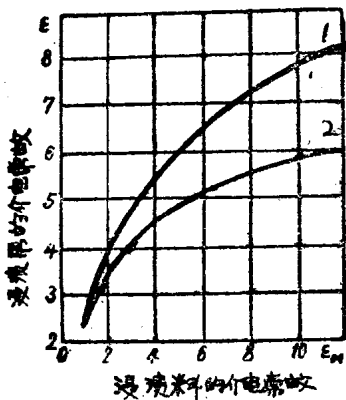


图 6-6 浸渍过的 KOH-I 电容器纸的介电常数与浸渍材料的介电常数的关系

- 1 —— 用液体介质浸渍；
- 2 —— 用固体蜡状介质浸渍。

从公式 (6-4) 中可以看出，液体浸渍纸的 ϵ 随着浸渍材料的 ϵ_{π} 的增大而增加，但是其增大的规律不是直线性的，而是逐渐减慢(图 6-6)，同时 ϵ 值不但与 ϵ_{π} 有关，而且也与电容器纸的密度 γ 有关；当 $\epsilon_{\pi} < \epsilon_k$ 时，纸的密度增大，使 ϵ 增大；但是，当 $\epsilon_{\pi} > \epsilon_k$ 时，则随着电容器纸的密度的减小，其 ϵ 增大。在纸介电容器的实际生产中，由于所采用的液体浸渍材料的 ϵ_{π} 值一般均小于 7，所以采用密度较大的电容器纸来生产直流纸介电容器是恰当的，这样不仅可以提高纸介电容器的比率容量，而且还可提高它的耐压强度。如果力求增大 ϵ_{π} ，以提高纸的 ϵ 值。当 ϵ_{π} 接近于无限大时，电容器纸的 ϵ 值也只能达到某一极限数值，这数值可以应用下式计算

$$\lim_{\epsilon_{\pi} \rightarrow \infty} |\epsilon|_{\epsilon_{\pi} \rightarrow \infty} = \frac{\epsilon_k}{1-z} \quad (6-5)$$

当 $\epsilon_{\pi} \rightarrow \infty$ 时，KOH-I 纸的 $\epsilon = 10$ ，而 KOH-II 纸的 $\epsilon = 8.3$ 。假若要使电容器

紙的 ε 達到這種數值，可用半導電液體（例如，三甲酚磷酸酯和甲酚，它們的比電阻約為 $3 \cdot 10^7$ 欧·厘米）來浸漬。

用固體浸漬材料浸漬的電容器紙與用液體浸漬材料浸漬不同，因為固體浸漬材料在固化時發生收縮，使電容器紙內的空氣隙依然部分存在。因此，固體浸漬紙的等效電路可如圖6-7所示。如果固體浸漬材料的收縮系數為 y ，浸漬紙的介電常數如下式所示：

$$\varepsilon = \frac{\varepsilon_K}{x(1-y) \frac{\varepsilon_K}{\varepsilon_M} + x(y\varepsilon_K - 1) + 1} \quad (6-6)$$

式中： ε_M 為固體浸漬材料的介電常數。由該式中可以看出，固體浸漬紙的介電常數 ε 與浸漬材料的介電常數 ε_M 、浸漬材料的收縮系數 y 和電容器紙的密度 x 有關。因此，即使固體浸漬材料與液體浸漬材料的介電常數相同，固體浸漬材料浸漬的電容器紙的介電常數要比用液體浸漬材料浸漬的電容器紙的介電常數小，在圖6-6上就充分說明了這一點，即是用固體材料浸漬的電容器紙的 ε 與 ε_M 的關係曲線低於用液體材料浸漬的 ε 與 ε_M 的關係曲線。當 $\varepsilon_M=2$ 時，由固體浸漬材料浸漬改用液體浸漬材料時，所製成的紙介電容器的電容量可以增高10~20%；如果用 ε_M 較大的浸漬材料浸漬時，用液體材料浸漬的電容器的電容量的增值就更為顯著。當固體浸漬材料的介電常數 $\varepsilon_M=\infty$ 時，浸漬的KOH-I紙的介電常數 $\varepsilon=7$ ，在前面已經指出，當用介電常數 $\varepsilon_n=\infty$ 的液體浸漬材料時，浸漬的KOH-I紙的介電常數 $\varepsilon=10$ 。固體浸漬的介電常數 ε 與紙的密度 x 的關係，其性質與液體浸漬紙的介電常數 ε 與紙的密度 x 的關係相同，不過固體浸漬紙所得的介電常數的數值比液體浸漬紙的小。

應用圖6-4就很容易得出未浸漬的電容器紙的損耗角正切的公式為：

$$tg\delta = \frac{tg\delta_K}{1 + \frac{\varepsilon_K x}{\varepsilon_B(1-x)}} + \frac{tg\delta_B}{1 + \frac{\varepsilon_B(1-x)}{\varepsilon_K x}} \quad (6-7)$$

對於未浸漬的電容器紙可用： $\varepsilon_B \approx 1$ 和 $tg\delta_B \approx 0$ 。於是上式就可寫成：

$$tg\delta = \frac{tg\delta_K}{1 + \frac{\varepsilon_K x}{(1-x)}} \quad (6-8)$$

利用公式(6-8)計算得出：KOH-I紙的 $tg\delta \approx 13 \sim 15 \cdot 10^{-4}$ ，而KOH-II紙的 $tg\delta \approx 13 \sim 24 \cdot 10^{-4}$ ，即是紙的密度增大使得 $tg\delta$ 增大，因此用密度較小的KOH-I紙製造交流電容器，而用密度較大的KOH-II紙製造直流電容器。在蘇聯，當溫度為 $60^\circ C$ 和頻率為50赫時，對 $tg\delta$ 的規定值是：KOH-I紙不大於 0.0017 和KOH-II紙不大於 0.002 。

應用圖6-5就很容易得出液體材料浸漬的電容器紙的損耗角正切公式為：

$$tg\delta = \frac{tg\delta_K}{1 + \frac{\varepsilon_K x}{\varepsilon_n(1-x)}} + \frac{tg\delta_n}{1 + \frac{\varepsilon_n(1-x)}{\varepsilon_K x}} \quad (6-9)$$

對於液體材料浸漬的紙，即使用極純淨和極干燥的浸漬料（其 $tg\delta_n \approx 1.2 \cdot 10^{-4}$ ，即

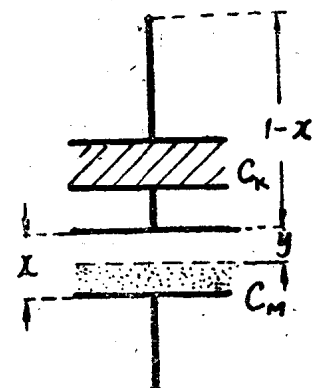


圖6-7 固體浸漬紙的等效電路圖

比 $\tan \delta_K$ 小得很多) 来浸渍, 所得的 $\tan \delta$ 值还是较大 ($\tan \delta \approx 60 \sim 70 \cdot 10^{-4}$)。纵使当温度不高(不超过 $70 \sim 80^\circ C$), 即是公式 (6-9) 中的等式右边的第二项可以忽略时, 液体浸渍纸的 $\tan \delta$ 也比未浸渍纸的 $\tan \delta$ 大。这可从比较公式 (6-9) 等式中的右边第一项和公式 (6-8) 中清楚的看出, 其原因是由于液体浸渍材料的 ϵ_n 值比空气的 ϵ_B 值为大所致。它的物理意义是在纸孔中填满了浸渍材料以后, 由于 $\epsilon_n > \epsilon_B$ 的原因, 引起浸渍纸中的电场重新分布, 纤维素上承受的电场强度增大, 并且由于纤维素的损耗角正切很大, 所以电场强度增大以后, $\tan \delta$ 值大为增加。

必须指出, 用 $\tan \delta_n$ 值很大的浸渍材料来浸渍电容器纸时, 特别是在温度较高的情况下, 公式 (6-9) 中的右边的第二项就不能忽略。这样, 液体浸渍纸的 $\tan \delta$ 值较未浸渍纸的 $\tan \delta$ 更为增大。

当浸渍料的比电阻 ρ_n 较小时, 必须考虑到纤维层中对穿小孔的影响, 因为填满这些小孔的液体浸渍材料的电阻与电容量 C_K 并联。由于这种原因, 液体浸渍的电容器纸的 $\tan \delta$ 与液体浸渍材料的比电阻 ρ_n 之间存在着复杂的关系(图 6-9)。

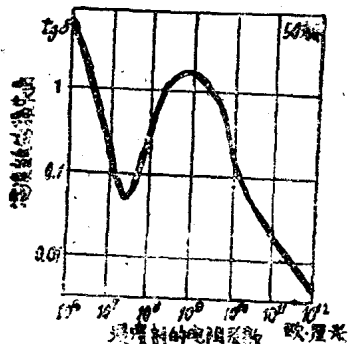


图 6-9 浸渍纸的损耗角正切与所用液体材料的比电阻间的关系

电容器纸的击穿是当所加电压达到一定数值时, 空气层先被击穿, 然后整个电压都加在纤维层上, 使纤维层击穿, 这时电容器纸完全被击穿, 这个电压即是纸的击穿电压。

将交流电压加于电容器纸上时, 纸内的电场是按各相的介电常数进行分布的。因而得出未浸渍纸的平均耐压强度的公式为:

$$E_{pp, cpe} = \frac{U_{pp, B}}{d} \left[1 + \frac{\epsilon_B \gamma}{\epsilon_K (\gamma_K - \gamma)} \right] \quad (6-10)$$

式中: $U_{pp, B}$ 是纸中空气薄层的击穿电压, 当空气层很薄时 ($6 \sim 8 \mu$ 米或更薄时), $U_{pp, B}$ 不随空气层的厚度而变化, $U_{pp, B}$ 的有效值约为 250 伏。

根据同样的理论, 得出在交流电压的作用下, 液体材料浸渍的电容器纸的平均耐压强度

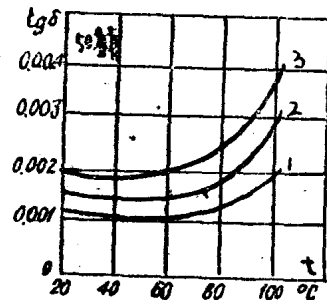


图 6-8 频率为 50 赫时, 硫酸盐纤维电容器纸的损耗角正切与温度的关系
1 — 干燥未浸渍的纸;
2 — 用非极性液体 ($\epsilon = 2$) 浸渍过的纸;
3 — 用极性液体 ($\epsilon = 5$) 浸渍过的纸。

从图 6-9 中可以看出, 若适当的选择液体浸渍材料, 纵使在这种情况下, 还可以得到 $\tan \delta$ 值不太大的浸渍纸。由图中的曲线看出, 当 $\rho_n \approx 10^7 \sim 10^8$ 时, 浸渍纸的 $\tan \delta$ 出现一个最小值, 因此可以选用适当的半导体液体浸渍材料来浸渍某些类型的低压 ($110 \sim 220$ 伏, 50 赫) 纸介电容器。用这种浸渍材料浸渍的纸介电容器的比率容量比用电容器油浸渍大三倍。

由于在固体浸渍材料浸渍的电容器纸中存在着部分空气隙。所以, 当固体浸渍材料和液体浸渍材料有相同的介电常数和损耗角正切时, 用固体材料浸渍的电容器纸的 $\tan \delta$ 值小于用液体材料浸渍的电容器纸。

电容器纸的击穿是当所加电压达到一定数值时, 空气层

的公式为：

$$E_{\text{пр.срд}} = \frac{U_{\text{пр.п}}}{d} \left[1 + \frac{\varepsilon_n \gamma}{3_k (\gamma_k - \gamma)} \right] \quad (6-11)$$

式中： $U_{\text{пр.п}}$ 是浸渍材料的击穿电压。比較公式 (6-11) 和 (6-10)，就可以看出，浸渍紙的耐压强度高于未浸渍紙的耐压强度，这是由于浸渍料的击穿电压 $U_{\text{пр.п}}$ 大于紙中空气隙的击穿电压 $U_{\text{пр.в}}$ ，除此以外，还由于公式 (6-11) 中的括号内的第二項增大了 ε_n 倍，因此，在纖維層和浸渍料層之間引起了电場的重新分布，再不象未浸渍紙的那样，所加电压的大部分加在空气層上。当 ε_n 愈大时，浸渍料層上承受的电压愈小，纖維層上承受的电压愈大，所以整个电容器紙的耐压强度有所提高。

在交流电压的作用下，固体浸渍紙的平均耐压强度的公式为：

$$E_{\text{пр.срд}} = \frac{U_{\text{пр.в}}}{d} \left[1 + \frac{1-y}{y} \frac{\varepsilon_v}{\varepsilon_m} + \frac{\gamma}{y(\gamma_k - \gamma)} \frac{\varepsilon_v}{\varepsilon_k} \right] \quad (6-12)$$

由公式 (6-10)、(6-11) 和 (6-12) 看出，不論是未浸渍紙、液体浸渍紙或固体浸渍紙的平均耐压强度 $E_{\text{пр.срд}}$ 均是随着紙的密度的增大而增加，随着紙的厚度的增大而减小。并且固体浸渍紙的 $E_{\text{пр.срд}}$ 还随着浸渍料的收縮系数的减小而增高。因为固体浸渍材料在固化时总是有所收縮，所以固体浸渍紙的耐压强度总是低于液体浸渍的紙。从这里也就說明为什么用固体材料浸渍的紙介电容器只能在低压下工作，以及为什么力求选用收縮系数小的固体浸渍材料。

影响紙的平均耐压强度 $E_{\text{пр.срд}}$ 的因素，除了紙的密度和厚度以外，还有电容器紙的結構的不均匀性以及其中的导电和半导电微粒；由于这种原因，紙的 $E_{\text{пр.срд}}$ 的分散性很大，并且使 $E_{\text{пр.срд}}$ 与極板面积有关。当極板面积增大时， $E_{\text{пр.срд}}$ 先是随着極板面积的增大而降低，然后趋向于一定值。另外 $E_{\text{пр.срд}}$ 还随大气压力的增大而提高。

在結束对电容器紙的交流耐压强度的討論时，必須指出，未浸渍紙的理論公式（公式 6-10）与实际情况很相符合，但是液体浸渍紙的理論公式（公式 6-11）与实际情况有一定出入，这是因为目前对于很薄的液体層还没有確切的液体層的耐压强度的試驗数据之故。

在直流电压下，电容器紙中各相的电場分布与在交流电压下不同，这时的电場分布不是按介电常数，而是按各相的电导。

在直流电压下，未浸渍紙的平均耐压强度的公式为：

$$E_{\text{пр.срд}} = \frac{U_{\text{пр.в}}}{d} \left[1 + \frac{\rho_k}{\rho_v} \frac{\gamma}{(\gamma_k - \gamma)} \right] \quad (6-13)$$

式中： ρ_k 是纖維素的比电阻， ρ_v 是空气的比电阻。 $\rho_v \approx 10^{15} \sim 10^{16}$ 欧·厘米， $\rho_k \approx 10^{17} \sim 10^{18}$ 欧·厘米（溫度为 20°C 时）。由于 ρ_v 和 ρ_k 的数值很相接近，所以，干燥的电容器紙的直流耐压强度約等于交流耐压强度（有效值）的 1.5 倍。

在直流电場下，表示液体浸渍紙的耐压强度的公式为：

$$E_{\text{пр.срд}} = \frac{U_{\text{пр.п}}}{d} \left[1 + \frac{\rho_k}{\rho_n} \frac{\gamma}{(\gamma_k - \gamma)} \right] \quad (6-14)$$

式中： ρ_n 是浸渍材料的比电阻；由于它比 ρ_k 小很多，所以加在电容器紙上的电压主要是落在纖維層上。因此，液体浸渍紙的直流耐压强度远大于其交流耐压强度。

从公式(6-13)和(6-14)中看出，无论是未浸渍纸或浸渍纸的直流耐压强度都与纸的厚度和密度有关。除此以外，还与极板面积及大气压力有关。

在结束本节的讨论时，简单介绍一下电容器纸的耐压强度与电压作用时间的关系(图6-10)。从图中看出，在直流电压的作用下，密度较大的KOH-II纸的耐压强度，无论是在短时或长期电压的作用下，都比密度较小的KOH-I纸高；但是在交流电压的作用下，KOH-II的耐压强度只是在短时间电压的作用下才比KOH-I纸高，而在电压的长期作用下，它的耐压强度反比KOH-I低，这是因为KOH-II纸的损耗角正切较大地影响了它的耐压强度之故。也就因此，通常不用KOH-II纸来制造交流电容器。根据以上所述，可知超高频雷达技术中的电容器应当用损耗角正切较小的KOH-I纸来制造，而用在脉冲技术中的电容器，则应当用KOH-II纸来制造，制造直流电容器必须用KOH-II纸，并且最好能用密度更高的纸来制造。目前已制造出了一种密度为1.3克/厘米³的电容器纸。用这种纸来制造直流电容器，可以提高它的耐压强度和使用寿命。

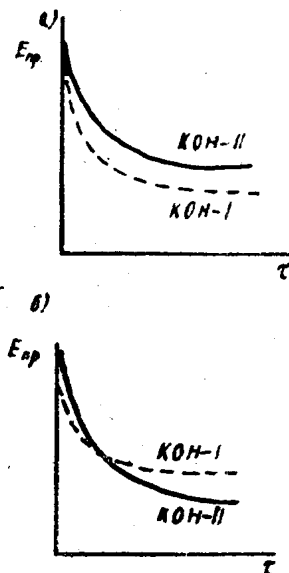


圖6-10 电容器紙的密度对紙介电容器的直流(a)和交流(b)耐压强度随时间降低的性质的影响
KOH-I是标准密度的紙；
KOH-II是密度較高的紙。

§ 6-3 紙介电容器的制造工艺

紙介电容器的制造过程可分为：材料及單件的准备、芯子的捲繞、芯子的干燥与浸漬、装配封焊和檢驗标印。

I. 材料及單件的准备

1. 电容器紙的准备：电容器紙是由造纸厂制成的，制成长带卷筒状，其宽度有严格标准，苏联电容器紙的宽度規格为：20、25、30、35、40、45、50、60、70、80、90、100毫米，也有特定的更寬的紙。紙的宽度与制造电容器时所要求的宽度不同时，可在切紙机上进行切割(圖6-11)。其操作过程如下：将所需切割的整卷紙筒利用松紧套筒裝入軸1，

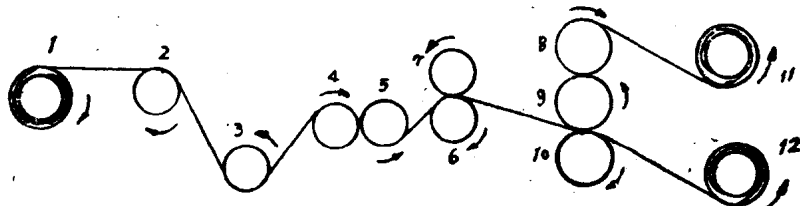


圖6-11 切紙机的工作示意圖

套筒的两端用螺母扭紧。軸1的右端装有使軸前后移动的装置，用来調整紙卷在切割时的軸

向平行。由紙厂供应的紙卷其两端的外直徑不一定完全相同，这是由于紙的厚度不均匀或者当紙捲成卷筒时所形成的。軸1的左端，利用木头轴承的松紧装置，来調整紙帶的拉力。紙卷筒裝好以后，就可以漸次松开，經過軸2和3，依靠軸4拉动，軸4是由装在軸5右端的齒輪帶動，而軸5依靠主動軸帶動，主動軸由馬達來帶動。軸5又帶動軸6和軸7，在軸7上裝有刀片組。刀片組的間隔即是所需紙的寬度，因此，必須用高度精密的各种不同寬度的隔離圈來固定刀片組。被切開的紙帶通過軸9與軸10之間分成兩路：一路捲在軸12上，另一路通過軸9和軸8之間捲在軸11上。这样分成兩路有很大优点，免得被切開的相邻紙卷由于偶然的原因所產生交叉重疊現象而形成紙卷難以分開的惡果。

紙卷兩端的切邊是通過橡皮管用風力來吹去的，風力是由馬達帶動的風扇來供應。至于用風力來吹掉切邊，是因为切邊很狹窄，易斷裂，很难捲到軸上去。在切紙的過程中，必須要切去切邊的道理，是因为紙厂製造出來的紙卷，經過搬運等過程，使紙卷兩端有損壞，難以直接用來捲繞芯子。

帶動主軸的馬達是通過調速器來起動和調整速度。沒有調速器是很难進行工作的，因为急劇的起動，会使紙帶斷裂。調速器與工作盤相連接，工人只要操縱工作盤就可以順利地進行工作。

切紙刀有兩種：一種是刀片，另一種是斜口刀，它有上刀和下刀，上下刀的形狀不同。

對切紙機的要求是很嚴格的，首先要求各軸必須平行，刀片必須與軸垂直，否則會使被切割後的紙的邊緣形成波浪式的不齊，吃刀的深度也不能过大，否則也會引起紙邊不齊。此外，主動軸的速度應與紙的張力相適應，拉力过大，紙帶易斷裂，拉力過小，使切好的紙卷很松，容易滑動。

2. 極板的準備：現今用來製造紙介電容器的極板，絕大多數是採用鋁箔（無感式芯子有時用鉛錫箔）。對於厚度較小（7.5微米）的鋁箔，其標準寬度有：19、20、22、25、30、34、38、40、45、80和85毫米，厚度為9~10微米的鋁箔，寬度達到250毫米。若鋁箔的寬度不合設計要求時，也與電容器紙一樣，在切箔機上進行切割。切箔機和切紙機在結構上是相同的，只是由於鋁箔比電容器紙硬而脆，所以要求切箔機主動軸的轉速比切紙機慢些，同時刀片刀口的質量要求也較高。

對於電容器極板用的箔料有如下要求：

- A. 箔面應光潔平坦，無皺紋、裂縫、刻痕和銹跡等缺陷；
- B. 在捲繞時，箔卷能自由平坦地松開，其邊緣應光滑、無毛刺和裂口等缺點。因此，要求切好後的箔卷小心保護，不能使箔卷兩端面有些微損傷，否則在捲繞時就不能達到自由平坦地松開；
- C. 箔帶要有一定的抗張強度，保證在捲繞過程中不致斷裂；
- D. 箔片不能受潮，以免形成氧化鋁。

3. 引出線和接觸片的準備：用於一般式捲繞芯子中的引出線有如下幾種形式：

A. 按設計要求裁好一定長度的鍍錫銅線，一端彎折成雙股，在雙股處裹上幾層鋁箔，製成的引出線像一面小旗子。在彎成雙股的彎角處要保持一定的圓角，免得銅線斷裂和電場強度过分集中。有時也將雙股處的銅線打扁，免得由於引線的插入引起芯子的變形而妨礙裝配，在打扁處也必須極力防止產生尖角，以免引起電容器耐壓強度的降低。在雙股銅線上裹上幾層鋁箔的作用是：避免戳穿電容器紙，以提高耐壓強度；增大接觸面積，以減小電容器的損耗，加大與極板的貼合強度，免得引線從芯子中脫出。這種引線用來製造中等容量的圓

柱形芯子。

B. 用細絞綫雙折轉，折弯處也裹上幾層鋁箔。這種引綫用來製造大電容量的扁平形芯子。實際上，這種引綫只起接觸片作用，因為在它上面還必須焊上引出綫，引出電容器外殼之外。

B. 製造小電容量電容器時，是以鍍錫的紅銅箔條插入芯子作為接觸片，然後在銅箔條上焊上引綫。這種紅銅箔的厚度為20~50微米。在切裁機上裁切成所要求的長條形，其邊緣的毛刺必須進行打光。

T. 用于無感式繞法芯子的引綫是在引綫的一端制成一個與引綫垂直的螺旋形盤狀，製造這種引綫是在簡單的特制機床上進行的。

用來製造引綫的銅線直徑為0.5~1.0毫米，根據電容器芯子的大小來選定。銅線外面鍍錫的作用是：防止銅的氧化，使它便於焊接以及消除銅對浸漬料的催化作用。

II. 電容器芯子的卷繞。

(1) 對電容器芯子捲繞車間的要求：

A. 電容器捲繞車間應該光亮；

B. 捲繞車間應保持高度清潔，不應當開啓捲繞車間的門窗，免得塵埃帶入芯子內，加速電容器的老化，降低電容器壽命。捲繞車間的通風應當經過濾塵器。

B. 捲繞車間應當保持一定的標準溫度和不大於50~60%的相對濕度。如果濕度过大，則使芯子受潮，延長浸漬前的干燥時間，拉長生產周期；如果濕度过小，則使紙帶容易斷裂，形成捲繞工藝上的困難。所以在現代化的工廠中，捲繞車間是採用人工氣候。

T. 捲繞車間力求整齊方便，捲繞機床應該依次排列，並且要有方便的過道。

A. 捲繞工人手不能直接接觸紙帶和箔帶，因手上難免有手汗，手汗會劇烈的加速電容器的老化。故要求捲繞工人帶橡皮手套。

(2) 捲繞車間的設備及工具。

A. 主要設備：

1) 手搖捲繞機（圖6-15），用來捲繞小電容量的電容器；

2) 半自動化捲繞機（圖6-16），其結構大致上與手搖捲繞機相仿，唯有用馬達帶動來代替手搖，並且帶有一套不太複雜的槓杆和齒輪連接離心分離器，使芯子繞到極板長度一半和終了時自動與馬達分開；除此以外，機牀上還裝有計數器。半自動捲繞機用來捲繞大電容量的芯子之用；

3) 自動捲繞機：其工作原理與半自動捲繞機可以說完全相同，唯一不同之點，就是芯子裝卸無需用人工。這種機床適用於捲繞匝數很多並有相同電容量的電容器芯子。

4) 剪刀：在捲繞終了時用來剪斷紙和箔；

5) 無酸膠粘物或橡皮環：用來粘結繞好的芯子的外層或套上橡皮環，防止繞好的芯子散開；

6) 毛筆：粘塗無酸膠粘物之用；

7) 放置繞好芯子用的容器：通常應用具有溝槽的木板。

B. 輔助設備：

1) 存放接線片用的框；

2) 存放方塊紙用的框；